

УДК 539.3

**В. А. Богомолов**\*, д-р.техн.наук.**С. Н. Склепус**\*\* , канд. физ.-мат. наук\* Харьковский национальный автомобильно-дорожный университет  
(e-mail: bv@khadi.kharkov.ua)Институт проблем машиностроения им. А. Н. Подгорного НАН Украины  
(г. Харьков, e-mail: ssklepus@rambler.ru)**РАСЧЕТ НАПРЯЖЕННО-ДЕФОРМИРОВАННОГО СОСТОЯНИЯ, ПОЛЗУЧЕСТИ И ПОВРЕЖДАЕМОСТИ МНОГОСЛОЙНЫХ ПЛИТ НА УПРУГОМ ОСНОВАНИИ**

*Рассмотрены задачи расчета напряженно-деформированного состояния, ползучести и повреждаемости многослойных ортотропных плит на упругом основании. Вариационная постановка выполнена в рамках уточненной теории пластин и оболочек. Для решения нелинейной начально-краевой задачи ползучести и повреждаемости предложено использовать сочетание методов R-функций, Ритца и Рунге-Кутты-Мерсона. Приведен тестовый пример расчета напряженно-деформированного состояния (НДС) двухслойной плиты на упругом основании. Разработанный метод может быть использован для исследования НДС и длительной прочности дорожного покрытия.*

*Розглянуто задачі розрахунку напружено-деформованого стану, повзучості та пошкоджуваності багатошарових ортотропних плит на пружній основі. Варіаційну постановку виконано в рамках уточненої теорії пластин та оболонок. Для розв'язання нелінійної початково-крайової задачі повзучості та пошкоджуваності запропоновано використувувати поєднання методів R-функцій, Рітца, та Рунге-Кутта-Мерсона. Наведено тестовий приклад розрахунку напружено-деформованого стану (НДС) двошарової плити на пружній основі. Розроблений метод може бути використаний для дослідження НДС та тривалої міцності дорожнього покриття.*

**Ключевые слова:** многослойные плиты, напряженно-деформированное состояние, ползучесть, метод R-функций

**Введение**

Одними из широко распространенных кусочно-однородных систем являются слоистые плиты на упругом основании – конструкции фундаментных плит, покрытия автомобильных дорог, аэродромов и т.п. При проектировании слоистых конструкций часто приходится решать задачу их прочности, в том числе задачу деградации конструктивных элементов во времени. В большинстве работ рассматривается упругое деформирование таких систем. Например, в работе [1] напряженно-деформированное состояние (НДС) многослойных плит на упругом основании исследуется путем решения задачи теории упругости для многослойной среды, а в работе [2] изгиб многослойных плит рассматривается в рамках уточненной теории оболочек и пластин. Задачи нелинейного деформирования многослойных плит, в частности задачи ползучести и повреждаемости вследствие ползучести, исследованы недостаточно. Это связано со сложностями решения нелинейных начально-краевых задач для неоднородных систем и с трудностями построения определяющих соотношений, учитывающих различные эффекты деформирования современных материалов. Так, например, большинство асфальтобетонных смесей проявляют зависимость прочностных и реологических свойств от вида напряженного состояния [3–5]. Кроме того, практические расчеты на ползучесть и длительную прочность нуждаются в широкой экспериментальной базе для идентификации параметров в определяющих соотношениях ползучести.

**Постановка задачи и метод решения**

Отнесем многослойную плиту постоянной толщины  $h$  и произвольной формы  $\Omega$  в плане к прямоугольной декартовой системе координат  $0x_1x_2z$ . Количество слоев равно  $m$ . В общем случае, материал каждого слоя считаем ортотропным. Координатные линии совпадают с главными направлениями анизотропии. Пусть плита лежит на упругом основании и находится под действием поперечной нагрузки  $q_z = q_z(x_1, x_2, t)$ , нормальных и касательных контурных нагрузок  $P_n^0(x_1, x_2, t)$ ,  $P_\tau^0(x_1, x_2, t)$ , приложенных на части контура  $\partial\Omega_p$ , а также температурного поля  $T = T(x_1, x_2, z, t)$ . На оставшейся части контура  $\partial\Omega_u$  заданы условия закрепления.

Для постановки задачи будем использовать уточненную теорию пластин и оболочек, учитывающую нелинейное распределение поперечных касательных напряжений  $\sigma_{i3}$  ( $i = 1, 2$ ) по толщине [6]. Основные гипотезы уточненной теории записываются следующим образом:

$$\sigma_{i3} = G_{i3}(z)f'_i(z)\psi_i(x_1, x_2, t), \quad \sigma_{33} = 0,$$

$$\varepsilon_{33} = \frac{\partial v_3}{\partial z} = v_{3,3} = 0, \quad v_3(x_1, x_2, z, t) = w(x_1, x_2, t).$$

Тут  $\psi_i(x_1, x_2, t)$  ( $i = 1, 2$ ) – искомые функции сдвига;  $f_i(z) = B_{ik}z^3 + C_{ik}z^2 + D_{ik}z + E_{ik}$  ( $k = 1, 2, \dots, m$ ) – функции распределения поперечных касательных напряжений [6], коэффициенты которых зависят от номера слоя. Функции  $f_i(z)$  строятся таким образом, чтобы удовлетворить условиям межслоевого контакта, а также условиям на верхней и нижней поверхностях плиты.

Компоненты тензора скоростей полных деформаций представим в виде суммы скоростей упругих деформаций  $\dot{\varepsilon}_{ij}^e$ , скоростей температурных деформаций  $\dot{\varepsilon}_{ij}^T$  и скоростей необратимых деформаций ползучести  $\dot{p}_{ij}$

$$\dot{\varepsilon}_{ij} = \dot{\varepsilon}_{ij}^e + \dot{\varepsilon}_{ij}^T + \dot{p}_{ij}, \quad (i, j = 1, 2, 3).$$

Здесь точка над символами обозначает полную производную по времени.

Температурные деформации вычисляются по формуле

$$\varepsilon_{ij}^T = \alpha_i(T - T_0)\delta_{ij},$$

где  $\alpha_i = \alpha_i(z, T)$  – коэффициенты линейного температурного расширения;  $T_0$  – температура, при которой напряжения и деформации отсутствуют;  $\delta_{ij}$  – символ Кронекера. Считаем, что закон изменения температуры  $T = T(x_1, x_2, z, t)$  задан или известен из решения задачи нестационарной теплопроводности.

Определяющие соотношения ползучести, а также кинетические уравнения повреждаемости для широкого класса материалов, в том числе с усложненными свойствами, например, такими, как зависимость характеристик материала от вида нагружения, представлены в работе [7].

В простейшем случае система уравнений, для описания изотропной ползучести и повреждаемости материалов, нечувствительных к виду нагружения, может быть записана в виде [8]

$$\dot{p}_{ij} = \frac{3}{2} A \sigma_i^n \frac{s_{ij}}{(1 - \varphi)^q}, \quad \dot{\varphi} = B \frac{\sigma_e^m}{(1 - \varphi)^r}, \quad (1)$$

где  $\varphi$  – скалярный параметр повреждаемости;  $\sigma_e = \alpha\sigma_i + (1 - \alpha)\sigma_1$ ,  $0 \leq \alpha \leq 1$ ;  $\sigma_1$  – максимальное главное напряжение;  $\sigma_i = \sqrt{\frac{3}{2}s_{ij}s_{ij}}$  – интенсивность напряжений;

$s_{ij} = \sigma_{ij} - \frac{1}{3}(\sigma_{11} + \sigma_{22} + \sigma_{33})\delta_{ij}$ ;  $A, B, n, q, m, r$  – константы материала. Зависимость скорости деформации ползучести от температуры в формулах (1) может быть учтена путем представления  $A$  и  $B$  в виде [8]

$$A = A_0 \exp(-U_0/kT), \quad B = B_0 \exp(-U_0/kT),$$

где  $k$  – постоянная Больцмана;  $T$  – абсолютная температура;  $U_0, \Delta_0$  – энергии активации, которые являются константами материала.

Простейшей моделью упругого основания является модель Винклера, согласно которой интенсивность реакции  $q_r$  основания на плиту вычисляется как

$$q_r = cw,$$

где  $c = \text{const}$  – коэффициент жесткости упругого основания (коэффициент постели). Реакция основания направлена в сторону, противоположную прогибу плиты.

Может быть принята односторонняя связь между плитой и упругим основанием. В этом случае имеем

$$q_r = \begin{cases} 0, & w < 0, \\ cw, & w \geq 0. \end{cases}$$

Как видно из приведенной формулы, при отрыве плиты от основания, реакция основания равна нулю.

Существуют также другие, более сложные модели упругого основания, например двухпараметрическая модель В. З. Власова и Н. Н. Леонтьева [9]

$$q_r = c_1 w - c_2 \Delta_w,$$

где  $c_1, c_2$  – первый и второй коэффициенты постели.

Выбор той или иной модели зависит от свойств упругого основания и задач, стоящих перед исследователем.

Краевая задача ползучести многослойной плиты в некоторый фиксированный момент времени  $t \neq 0$ , может быть сведена к вариационной задаче для функционала в форме Лагранжа [7]

$$U(\dot{u}_1, \dot{u}_2, \dot{w}, \dot{\psi}_1, \dot{\psi}_2) = U_1 + U_2, \quad (2)$$

где первое слагаемое вычисляется по формуле

$$\begin{aligned} U_1 = & \frac{1}{2} \iint_{\Omega} [A_1 \dot{u}_{1,1}^2 + A_2 \dot{u}_{2,2}^2 + 2A_3 \dot{u}_{1,1} \dot{u}_{2,2} + A_4 (\dot{u}_{1,2} + \dot{u}_{2,1})^2 + D_1 \dot{w}_{,11}^2 + D_2 \dot{w}_{,22}^2 + D_3 \dot{w}_{,12}^2 - \\ & - 2B_1 \dot{w}_{,11} \dot{u}_{1,1} - 2B_2 \dot{w}_{,22} \dot{u}_{2,2} - 2B_3 (\dot{w}_{,11} \dot{u}_{2,2} + \dot{w}_{,22} \dot{u}_{1,1}) - 2B_4 (\dot{u}_{1,2} + \dot{u}_{2,1}) \dot{w}_{,12} - 2F_1 \dot{w}_{,11} \dot{\psi}_{1,1} - \\ & - 2F_2 \dot{w}_{,22} \dot{\psi}_{2,2} - 2F_3 \dot{w}_{,11} \dot{\psi}_{2,2} - 2F_4 \dot{w}_{,22} \dot{\psi}_{1,1} - 2F_5 \dot{w}_{,12} \dot{\psi}_{1,2} - 2F_6 \dot{w}_{,12} \dot{\psi}_{2,1} + 2F_7 \dot{u}_{1,1} \dot{\psi}_{1,1} + \\ & + 2F_8 \dot{u}_{2,2} \dot{\psi}_{2,2} + 2F_9 \dot{\psi}_{1,1} \dot{u}_{2,2} + 2F_{10} \dot{\psi}_{2,2} \dot{u}_{1,1} + 2F_{11} \dot{\psi}_{1,2} (\dot{u}_{1,2} + \dot{u}_{2,1}) + 2F_{12} \dot{\psi}_{2,2} (\dot{u}_{1,2} + \dot{u}_{2,1}) + F_{13} \dot{\psi}_{1,1}^2 + \\ & + F_{14} \dot{\psi}_{2,2}^2 + 2F_{15} \dot{\psi}_{1,1} \dot{\psi}_{2,2} + F_{16} \dot{\psi}_{1,2}^2 + F_{17} \dot{\psi}_{2,1}^2 + 2F_{18} \dot{\psi}_{1,2} \dot{\psi}_{2,1} + F_{19} \dot{\psi}_1^2 + F_{20} \dot{\psi}_2^2 + \dot{q}_r \dot{w}] dx_1 dx_2 - \\ & - \iint_{\Omega} \dot{q}_z \dot{w} dx_1 dx_2 - \int_{\partial\Omega_p} [\dot{P}_n^0 (\dot{u}_1 n_1 + \dot{u}_2 n_2) + \dot{P}_\tau^0 (\dot{u}_2 n_1 - \dot{u}_1 n_2)] dS. \end{aligned} \quad (3)$$

Здесь  $\dot{u}_1(x_1, x_2, t)$ ,  $\dot{u}_2(x_1, x_2, t)$ ,  $\dot{w}(x_1, x_2, t)$  – скорости перемещений точек координатной поверхности плиты вдоль осей  $0x_1, 0x_2, 0z$ ;  $\dot{\psi}_1(x_1, x_2, t)$ ,  $\dot{\psi}_2(x_1, x_2, t)$  – скорости функций сдвига;  $n_1, n_2$  – направляющие косинусы внешней нормали  $\mathbf{n}$  к контуру плиты  $\partial\Omega$ . Коэффициенты жесткости многослойной плиты вычисляются по формулам

$$\begin{aligned} A_1 = \int_{(h)} \frac{E_1}{1 - \nu_{12}\nu_{21}} dz, \quad A_2 = \int_{(h)} \frac{E_2}{1 - \nu_{12}\nu_{21}} dz, \quad A_3 = \int_{(h)} \frac{\nu_{21} E_1}{1 - \nu_{12}\nu_{21}} dz = \int_{(h)} \frac{\nu_{12} E_2}{1 - \nu_{12}\nu_{21}} dz, \quad A_4 = \int_{(h)} G_{12} dz, \\ D_1 = \int_{(h)} \frac{E_1 z^2}{1 - \nu_{12}\nu_{21}} dz, \quad D_2 = \int_{(h)} \frac{E_2 z^2}{1 - \nu_{12}\nu_{21}} dz, \quad D_3 = \int_{(h)} 4G_{12} z^2 dz, \quad D_4 = \int_{(h)} \frac{\nu_{21} E_1 z^2}{1 - \nu_{12}\nu_{21}} dz, \\ B_1 = \int_{(h)} \frac{E_1 z}{1 - \nu_{12}\nu_{21}} dz, \quad B_2 = \int_{(h)} \frac{E_2 z}{1 - \nu_{12}\nu_{21}} dz, \quad B_3 = \int_{(h)} \frac{\nu_{21} E_1 z}{1 - \nu_{12}\nu_{21}} dz, \quad B_4 = \int_{(h)} 2G_{12} z dz, \end{aligned}$$

$$\begin{aligned}
 F_1 &= \int_{(h)} \frac{E_1 f_1 z}{1 - \nu_{12} \nu_{21}} dz, \quad F_2 = \int_{(h)} \frac{E_2 f_2 z}{1 - \nu_{12} \nu_{21}} dz, \quad F_3 = \int_{(h)} \frac{\nu_{21} E_1 f_2 z}{1 - \nu_{12} \nu_{21}} dz, \quad F_4 = \int_{(h)} \frac{\nu_{21} E_1 f_1 z}{1 - \nu_{12} \nu_{21}} dz, \\
 F_5 &= \int_{(h)} 2G_{12} f_1 z dz, \quad F_6 = \int_{(h)} 2G_{12} f_2 z dz, \quad F_7 = \int_{(h)} \frac{f_1 E_1 z}{1 - \nu_{12} \nu_{21}} dz, \quad F_8 = \int_{(h)} \frac{f_2 E_2 z}{1 - \nu_{12} \nu_{21}} dz, \\
 F_9 &= \int_{(h)} \frac{\nu_{21} E_1 f_1}{1 - \nu_{12} \nu_{21}} dz, \quad F_{10} = \int_{(h)} \frac{\nu_{21} E_1 f_2}{1 - \nu_{12} \nu_{21}} dz, \quad F_{11} = \int_{(h)} G_{12} f_1 dz, \quad F_{12} = \int_{(h)} G_{12} f_2 dz, \\
 F_{13} &= \int_{(h)} \frac{E_1 f_1^2}{1 - \nu_{12} \nu_{21}} dz, \quad F_{14} = \int_{(h)} \frac{E_2 f_2^2}{1 - \nu_{12} \nu_{21}} dz, \quad F_{15} = \int_{(h)} \frac{\nu_{21} E_1 f_1 f_2}{1 - \nu_{12} \nu_{21}} dz, \quad F_{16} = \int_{(h)} G_{12} f_1^2 dz, \\
 F_{17} &= \int_{(h)} G_{12} f_2^2 dz, \quad F_{18} = \int_{(h)} G_{12} f_1 f_2 dz, \quad F_{19} = \int_{(h)} G_{13} (f_1')^2 dz, \quad F_{20} = \int_{(h)} G_{23} (f_2')^2 dz,
 \end{aligned}$$

где  $E_1 = E_1(z, T)$ ,  $E_2 = E_2(z, T)$ , – модули Юнга в направлениях  $x_1, x_2$ ;  $G_{12} = G_{12}(z, T)$ ,  $G_{13} = G_{13}(z, T)$ ,  $G_{23} = G_{23}(z, T)$  – модули сдвига для поверхностей  $z = \text{const}$ ,  $x_1 = \text{const}$ ,  $x_2 = \text{const}$ ;  $\nu_{12} = \nu_{12}(z, T)$ ,  $\nu_{21} = \nu_{21}(z, T)$  – коэффициенты Пуассона (первый индекс показывает направление действия силы, второй – направление поперечного сжатия). Упругие характеристики в общем случае являются непрерывными функциями координаты  $z$  в пределах каждого слоя.

Если известен диапазон изменения температуры  $T \in [T_1, T_2]$  и значения упругих характеристик материалов слоев при температурах  $T_1, T_2$ , то для модулей Юнга  $E_1, E_2$ , модулей сдвига  $G_{12}, G_{13}, G_{23}$ , коэффициентов Пуассона  $\nu_{12}, \nu_{21}$ , а также для коэффициентов линейного температурного расширения  $\alpha_1, \alpha_2$  может быть принята простейшая линейная интерполяция

$$F(z, T) = K_1(z) + K_2(z)T,$$

где коэффициенты  $K_1, K_2$  имеют вид

$$K_1(z) = \frac{T_2 F(z, T_1) - T_1 F(z, T_2)}{T_2 - T_1}, \quad K_2(z) = \frac{F(z, T_2) - F(z, T_1)}{T_2 - T_1}.$$

Тут  $F(z, T_1), F(z, T_2)$  – значения какой-либо упругой характеристики или коэффициента линейного температурного расширения при температурах  $T_1$  и  $T_2$  соответственно.

Второе слагаемое в формуле (2) включает в себя «фиктивные» силы, обусловленные температурными деформациями и необратимыми деформациями ползучести

$$\begin{aligned}
 U_2 &= - \iint_{\Omega} \left( \dot{N}_{11}^f \dot{u}_{1,1} + \dot{N}_{22}^f \dot{u}_{2,2} + \dot{N}_{12}^f (\dot{u}_{1,2} + \dot{u}_{2,1}) - M_{11}^f \dot{w}_{,11} - M_{22}^f \dot{w}_{,22} - \right. \\
 &\quad \left. 2M_{12}^f \dot{w}_{,12} + \dot{R}_{11}^f \dot{\psi}_{1,1} + \dot{R}_{22}^f \dot{\psi}_{2,2} + \dot{R}_{12}^f \dot{\psi}_{1,2} + \dot{R}_{21}^f \dot{\psi}_{2,1} + \dot{R}_{13}^f \dot{\psi}_1 + \dot{R}_{23}^f \dot{\psi}_2 \right) dx_1 dx_2.
 \end{aligned} \tag{4}$$

Здесь

$$\begin{aligned}
 \dot{N}_{11}^f &= \int_{(h)} \frac{E_1}{1 - \nu_{12} \nu_{21}} (\dot{e}_{11} + \nu_{21} \dot{e}_{22}) dz, \quad \dot{N}_{22}^f = \int_{(h)} \frac{E_2}{1 - \nu_{12} \nu_{21}} (\dot{e}_{22} + \nu_{12} \dot{e}_{11}) dz, \quad \dot{N}_{12}^f = 2 \int_{(h)} G_{12} \dot{p}_{12} dz, \\
 \dot{M}_{11}^f &= \int_{(h)} \frac{E_1 z}{1 - \nu_{12} \nu_{21}} (\dot{e}_{11} + \nu_{21} \dot{e}_{22}) dz, \quad \dot{M}_{22}^f = \int_{(h)} \frac{E_2 z}{1 - \nu_{12} \nu_{21}} (\dot{e}_{22} + \nu_{12} \dot{e}_{11}) dz, \quad \dot{M}_{12}^f = 2 \int_{(h)} G_{12} z \dot{p}_{12} dz, \\
 \dot{R}_{11}^f &= \int_{(h)} \frac{E_1 f_1}{1 - \nu_{12} \nu_{21}} (\dot{e}_{11} + \nu_{21} \dot{e}_{22}) dz, \quad \dot{R}_{22}^f = \int_{(h)} \frac{E_2 f_2}{1 - \nu_{12} \nu_{21}} (\dot{e}_{22} + \nu_{12} \dot{e}_{11}) dz, \quad \dot{R}_{12}^f = 2 \int_{(h)} G_{12} f_1 \dot{p}_{12} dz, \\
 \dot{R}_{21}^f &= 2 \int_{(h)} G_{12} f_2 \dot{p}_{12} dz, \quad \dot{R}_{13}^f = 2 \int_{(h)} G_{13} f_1' \dot{p}_{13} dz, \quad \dot{R}_{23}^f = 2 \int_{(h)} G_{23} f_2' \dot{p}_{23} dz.
 \end{aligned} \tag{5}$$

где  $\dot{e}_{11} = \dot{p}_{11} + \dot{\varepsilon}_{11}^T$ ,  $\dot{e}_{22} = \dot{p}_{22} + \dot{\varepsilon}_{22}^T$ .

В представленном функционале функции  $\dot{u}_1(x_1, x_2, t)$ ,  $\dot{u}_2(x_1, x_2, t)$ ,  $\dot{w}(x_1, x_2, t)$ ,  $\dot{\psi}_1(x_1, x_2, t)$ ,  $\dot{\psi}_2(x_1, x_2, t)$  должны удовлетворять кинематическим граничным условиям на  $\partial\Omega_u$ , а скорости деформаций ползучести считаются заданными и не варьируются.

Основные неизвестные начально-краевой задачи ползучести в момент времени  $t \neq 0$  могут быть найдены из решения задачи Коши по времени для системы уравнений [7]

$$\begin{aligned} \frac{du_1}{dt} &= \dot{u}_1, & \frac{du_2}{dt} &= \dot{u}_2, & \frac{dw}{dt} &= \dot{w}, & \frac{d\psi_1}{dt} &= \dot{\psi}_1, & \frac{d\psi_2}{dt} &= \dot{\psi}_2, \\ \frac{d\varepsilon_{11}}{dt} &= \dot{u}_{1,1} - z\dot{w}_{,11} + f_1\dot{\psi}_{1,1}, & \frac{d\varepsilon_{22}}{dt} &= \dot{u}_{2,2} - z\dot{w}_{,22} + f_2\dot{\psi}_{2,2}, \\ \frac{d\gamma_{12}}{dt} &= \dot{u}_{1,2} + \dot{u}_{2,1} - 2z\dot{w}_{,12} + f_1\dot{\psi}_{1,2} + f_2\dot{\psi}_{2,1}, & \frac{d\gamma_{13}}{dt} &= f'_1\dot{\psi}_1, & \frac{d\gamma_{23}}{dt} &= f'_2\dot{\psi}_2, \\ \frac{d\sigma_{11}}{dt} &= \frac{E_1}{1 - \nu_{12}\nu_{21}} [\dot{\varepsilon}_{11} + \nu_{21}\dot{\varepsilon}_{22} - (\dot{\varepsilon}_{11} + \nu_{21}\dot{\varepsilon}_{22})], \\ \frac{d\sigma_{22}}{dt} &= \frac{E_2}{1 - \nu_{12}\nu_{21}} [\dot{\varepsilon}_{22} + \nu_{12}\dot{\varepsilon}_{11} - (\dot{\varepsilon}_{22} + \nu_{12}\dot{\varepsilon}_{11})], \\ \frac{d\sigma_{12}}{dt} &= G_{12}(\dot{\gamma}_{12} - 2\dot{p}_{12}), & \frac{d\sigma_{13}}{dt} &= G_{13}(\dot{\gamma}_{13} - 2\dot{p}_{13}), & \frac{d\sigma_{23}}{dt} &= G_{23}(\dot{\gamma}_{23} - 2\dot{p}_{23}), \\ \frac{dp_{11}}{dt} &= \dot{p}_{11}, & \frac{dp_{22}}{dt} &= \dot{p}_{22}, & \frac{dp_{12}}{dt} &= \dot{p}_{12}, & \frac{dp_{13}}{dt} &= \dot{p}_{13}, & \frac{dp_{23}}{dt} &= \dot{p}_{23}, & \frac{d\varphi}{dt} &= \dot{\varphi}. \end{aligned} \quad (6)$$

Начальные условия для неизвестных функций в момент времени  $t = 0$  находятся из решения задачи упругого деформирования плиты. Для решения упругой задачи может быть использован приведенный выше функционал вида (2)–(4). При этом в формулах (3), (4) необходимо заменить производные функций по времени самими функциями, а при вычислении «фиктивных» сил по формулам (5) положить  $\dot{p}_{11} = \dot{p}_{22} = \dot{p}_{12} = \dot{p}_{13} = \dot{p}_{23} = 0$ .

Для интегрирования уравнений (6) будем использовать метод Рунге–Кутты–Мерсона (РКМ) с автоматическим выбором шага. Вариационные задачи для функционала Лагранжа (2) в моменты времени, которые отвечают схеме метода РКМ, будем решать методом Ритца. Координатные функции, удовлетворяющие заданным краевым условиям, строятся с помощью метода R-функций [10]. Метод R-функций позволяет точно учитывать геометрию области и граничные условия самого общего вида. При этом решение краевой задачи представляется в виде формулы – структуры решения, которая точно удовлетворяет всем (общая структура решения) или части (частичная структура решения) граничным условиям. Структура решения является инвариантной по отношению к форме области.

### Пример расчета

Рассмотрим изгиб квадратной ( $a \times a$ ) двухслойной плиты на упругом основании. Плита находится под действием поперечной нагрузки, приложенной в центре и равномерно распределенной по площади круга радиуса  $r = 0,15$  м [2]. Плита состоит из двух слоев, жестко соединенных между собой: 1 – асфальтобетон ( $E_1 = 10^3$  МПа,  $\nu_1 = 0,3$ ,  $h_1 = 0,05$  м), 2 – бетон М-350 ( $E_2 = 3,1 \cdot 10^4$  МПа,  $\nu_2 = 0,167$ ,  $h_2 = 0,3$  м). Для упругого основания принята модель Винклера с коэффициентом постели  $c = 193$  МПа/м.

Размер плиты в плане  $a = 30r$ . Интенсивность поперечной нагрузки  $q_z = 1$  МПа. Температурные деформации считаем равными нулю. На краях плиты заданы условия закрепления, соответствующие неподвижному шарниру

$$\dot{w} = 0, \quad \dot{u}_n = 0, \quad \dot{u}_\tau = 0, \quad \dot{\psi}_n = 0, \quad \dot{\psi}_\tau = 0, \quad (7)$$

где  $\dot{u}_n = \dot{u}_1 n_1 + \dot{u}_2 n_2$ ,  $\dot{u}_\tau = \dot{u}_2 n_1 - \dot{u}_1 n_2$ ,  $\dot{\psi}_n = \dot{\psi}_1 n_1 + \dot{\psi}_2 n_2$ ,  $\dot{\psi}_\tau = \dot{\psi}_2 n_1 - \dot{\psi}_1 n_2$ .

Структура решения, удовлетворяющая условиям (7), имеет вид

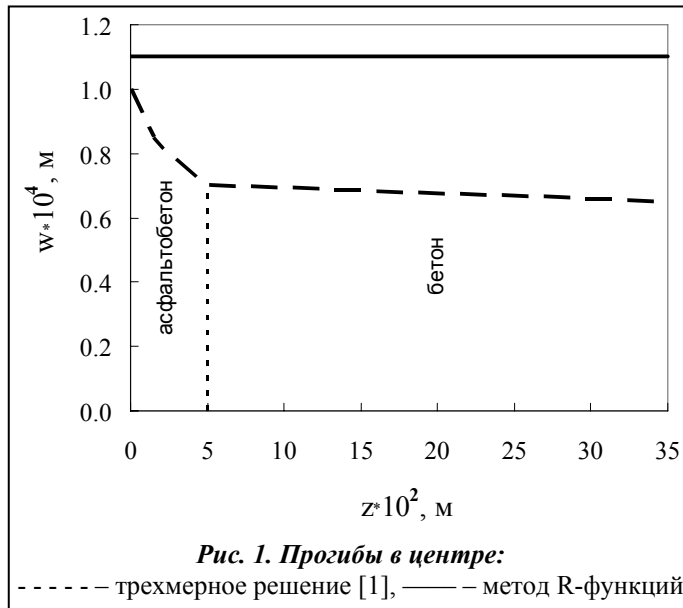


Рис. 1. Прогибы в центре:

----- трехмерное решение [1], — метод R-функций

ные в [2] с помощью трехмерного решения первой краевой задачи теории упругости для многослойной среды, приведенным в [1]. Сплошной линией показаны результаты, полученные по предлагаемой методике. При численной реализации учитывалась симметрия задачи. Неопределенные компоненты структуры решения представлялись в виде

$$\Phi_i(x) \approx \Phi_{iN}(x) = \sum_{k=1}^{N_i} C_k^{(i)} \varphi_k(x_1, x_2), \quad (i = 1, 2, \dots, 5),$$

где  $C_k^{(i)}$  – неопределенные коэффициенты, а в качестве  $\{\varphi_k\}$  были выбраны степенные полиномы вида  $x_1^m x_2^n$ . Максимальные степени полиномов в структурах решения: для  $\Phi_1$  – 12, для  $\Phi_i$  ( $i = 2, \dots, 5$ ) – 10. Для интегрирования по области  $\Omega$  и по толщине использовались формулы Гаусса. При вычислении элементов матрицы Гаусса количество узлов интегрирования по четверти области равнялось 144.

**Выводы**

Разработан численно-аналитический метод решения задач расчета напряженно-деформированного состояния, ползучести и повреждаемости слоистых ортотропных плит произвольной формы, лежащих на упругом основании. Решен тестовый пример расчета НДС двухслойной плиты, которая является расчетной схемой дорожного покрытия. Получено удовлетворительное для инженерной практики совпадение с результатами трехмерного решения. Разработанный метод может быть использован для моделирования напряженно-деформированного состояния и длительной прочности дорожных одежд с упруго-вязкими свойствами.

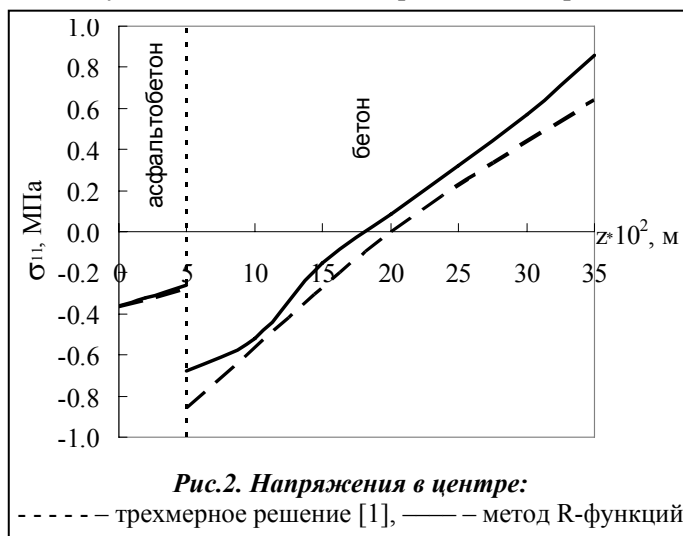


Рис.2. Напряжения в центре:

----- трехмерное решение [1], — метод R-функций

$$\dot{w} = \omega \Phi_1, \quad \dot{u}_1 = \omega \Phi_2, \quad \dot{u}_2 = \omega \Phi_3, \\ \dot{\psi}_1 = \omega \Phi_4, \quad \dot{\psi}_2 = \omega \Phi_5,$$

где  $\omega = \omega_1 \wedge_0 \omega_2 = \omega_1 + \omega_2 - \sqrt{\omega_1^2 + \omega_2^2}$  – R-конъюнкция [10],

$$\omega_1 = \frac{1}{a} \left( \frac{a^2}{4} - x_2^2 \right), \quad \omega_2 = \frac{1}{a} \left( \frac{a^2}{4} - x_1^2 \right),$$

$\Phi_i$  ( $i = 1, 2, \dots, 5$ ) – неопределенные компоненты. Функция  $\omega$  удовлетворяет условиям

$$\omega = 0, \quad \omega_{,n} = -1 \text{ на } \partial\Omega, \\ \omega > 0 \text{ внутри области } \Omega.$$

На рис. 1, 2 представлены результаты расчета прогибов и напряжений в плите, в зоне приложения нагрузки. Пунктирной линией показаны результаты расчета, полученные

**Литература**

1. Приварников, А. К. Решение граничных задач теории упругости для многослойных оснований / А. К. Приварников. – Днепропетровск: Изд-во Днепропетр. ун-та, 1976.– 60 с.
2. Расчет неоднородных пологих обо-

- лочек и пластин методом конечных элементов / В.Г. Пискунов, В.Е. Вериженко, В.К. Присяжнюк и др. – Киев: Вища шк., 1987. – 200 с.
3. Руденский, А. В. Дорожные асфальтобетонные покрытия / А. В. Руденский. – М.: Транспорт, 1992. – 253 с.
  4. Золотарев, В. А. Долговечность дорожных асфальтобетонов / В. А. Золотарев. – Харьков: Высш. шк., 1977. – 116 с.
  5. Богуславский, А. М. Основы реологии асфальтобетона / А. М. Богуславский, Л. А. Богуславский. – М.: Высш. шк., 1972. – 199 с.
  6. Рассказов, А. О. Теория и расчет слоистых ортотропных пластин и оболочек / А. О. Рассказов, И. И. Соколовская, Н. А. Шульга. – Киев: Вища шк., 1986. – 191 с.
  7. Золочевский, А. А. Нелинейная механика деформируемого твердого тела / А. А. Золочевский, А. Н. Склепус, С. Н. Склепус. – Харьков: Бизнес Инвестор Групп, 2011. – 720 с.
  8. Работнов, Ю. Н. Ползучесть элементов конструкций / Ю. Н. Работнов. – М.: Наука, 1966. – 752 с.
  9. Власов, В. З. Балки, плиты и оболочки на упругом основании / В. З. Власов, Н. Н. Леонтьев. – М.: Физматгиз, 1960. – 491 с.
  10. Рвачев, В. Л. Теория R-функций и некоторые ее приложения / В. Л. Рвачев. – Киев: Наук. думка, 1982. – 552 с.

Поступила в редакцию  
25.12.13

УДК 539.3

**К. В. Аврамов**<sup>\*</sup>, д-р техн. наук  
**О. К. Морачковский**, д-р техн. наук<sup>\*\*</sup>  
**А. М. Тонконоженко**<sup>\*\*\*</sup>  
**В. Ю. Кожарин**<sup>\*\*\*</sup>  
**Р. Е. Кочуров**<sup>\*</sup>, канд. техн. наук

<sup>\*</sup> Институт проблем машиностроения им. А. Н. Подгорного НАН Украины  
(г. Харьков, e-mail: kvavr@kharkov.ua)

<sup>\*\*</sup> Национальный технический университет  
«Харьковский политехнический институт»

<sup>\*\*\*</sup> Государственное предприятие КБ «Южное» (г. Днепропетровск)

## ПОЛУАНАЛИТИЧЕСКИЙ МЕТОД КОНЕЧНЫХ ЭЛЕМЕНТОВ ДЛЯ РАСЧЕТА НАПРЯЖЕННО-ДЕФОРМИРУЕМОГО СОСТОЯНИЯ ЦИЛИНДРИЧЕСКИХ ОБОЛОЧЕК С ПРОДОЛЬНЫМИ РЕБРАМИ ЖЕСТКОСТИ

*Для расчета цилиндрических оболочек, подкрепленных продольными ребрами жесткости, предложен полуаналитический метод конечных элементов. С помощью предложенного метода численно исследуются свойства напряженно-деформированного состояния оболочек.*

*Для розрахунку циліндричної оболонки, що підкріплена повздовжніми ребрами, запропоновано напіваналітичний метод скінченних елементів. За допомогою запропонованого методу чисельно досліджено властивості напружено-деформованого стану оболонок.*

**Ключевые слова:** метод конечных элементов, орребренные оболочки, матрица жесткости конструкции.